

تحلیل رژیم تنش در مخزن هیدروکربوری و پایداری دیواره چاه در میدان شاه دنبیز، حوضه خزر

پروانه علیزاده سعید^۱، محمد حسنپور صدقی^{(۲)*}، علی کددخائی^۳ و ملک محمد گیتی^۴

۱. دانشآموخته کارشناسی ارشد تکتونیک، گروه زمین‌شناسی، دانشکده علوم طبیعی، دانشگاه تبریز
۲. استادیار گروه زمین‌شناسی، دانشکده علوم طبیعی، دانشگاه تبریز
۳. دکتری گروه زمین‌شناسی، دانشکده علوم طبیعی، دانشگاه تبریز
۴. مدیر پتروفیزیک شرکت نفت خزر

تاریخ دریافت: ۹۷/۰۷/۲۵

تاریخ پذیرش: ۹۷/۱۱/۱۶

چکیده

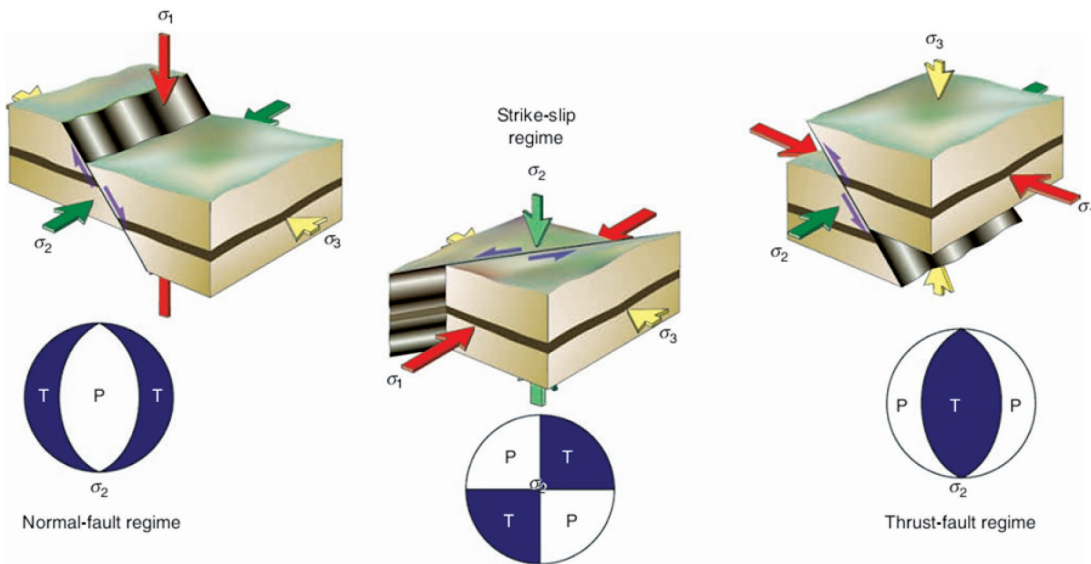
ناپایداری دیواره چاه یکی از مشکلات اساسی در عملیات حفاری چاههای نفت و گاز است. تحلیل و پیش‌بینی ناپایداری دیواره چاه از اهمیت ویژه‌ای برخوردار است. از موارد دارای اهمیت در ناپایداری مشخص کردن رژیم تنشی و اندازه‌گیری مقدار تنش‌ها می‌باشد. این مطالعه در یکی از میدان‌های حوضه خزر جنوبی در ایران انجام شده است. رژیم تنشی فشارشی در میدان مورد مطالعه با توجه به مشاهدات تکتونیکی بزرگ مقیاس و نشانه‌های تنش ناحیه‌ای شناسایی شده است. با داده‌های صوتی و چگالی و فشار منفذی پیش‌بینی شده از روش ایتون (Eaton)، بزرگی تنش‌های بر جا محاسبه شده است. این مطالعه تاثیر شیب و آزمیوت را روی ناپایداری چاه در رژیم گسلی فشارشی ارائه می‌دهد. در این مطالعه برای محاسبه پایداری در آزمیوت و شیب‌های مختلف از معیار گسیختگی اصلاح شده لید (Lade) استفاده شده است. مطالعه پایداری در این میدان توسط نرم‌افزار STABview انجام شده است. نتایج نشان می‌دهد که پایداری در امتداد آزمیوت تنش افقی حداقل، چاه قائم بیشترین پایداری را دارد، اما در به سایر جهات دارد. در یک مسیر نزدیک به جهت تنش افقی حداقل، چاه قائم بیشترین پایداری را دارد، اما در جهت نزدیک به جهت تنش افقی حداقل چاه افقی بهترین گزینه می‌باشد.

واژه‌های کلیدی: پایداری دیواره چاه، تنش‌های بر جا، چاههای نفت و گاز، رژیم تنشی، ژئومکانیک.

مقدمه

آگاهی از خصوصیات کامل ترسیم‌های تنش‌های بر جا، نیازمند تعیین بزرگی و جهت سه مؤلفه‌ی تنش‌های اصلی است، که از بزرگ به کوچک به عنوان 5_1 و 5_2 نشان داده می‌شود. در محیطی با سطح بر جستگی‌های ملایم، فرض کلی بر این است که سطح زمین هموار و افقی است. در چنین موردی، جهت یکی از تنش‌های اصلی تقریباً عمودی است. این تنش قائم بر جا، توسط 5 نشان داده می‌شود که به دلیل اینکه ناپایداری دیواره چاه از مشکلات اساسی در عملیات حفاری چاههای نفت و گاز می‌باشد در بسیاری از میدان‌های نفتی برای کاهش هزینه‌ها و افزایش تولید و بازدهی بیشتر مخازن نفت و همچنین کاهش مشکلات حفاری به مطالعات پایداری و تعیین مسیر بهینه حفاری نیاز می‌باشد (Zare et al., 2010).

* نویسنده مرتبط: hassanpour_mhd@tabrizu.ac.ir



شکل ۱. ارتباط بین جهت‌گیری تنش‌های اصلی (رژیم‌های تنشی) و رژیم‌های تکتونیکی بر اساس اندرسون ۱۹۵۱ و استریوونت‌های نشان‌دهنده بخش‌های فشاری (P) و کششی (T) (Fossen, 2010)

زمین‌شناسی منطقه

منطقه مورد مطالعه در حوضه جنوبی دریای خزر قرار گرفته است، حوضه جنوبی دریای خزر شامل بخش‌های جنوبی دریای خزر و مناطق خشکی شرق آذربایجان، غرب ترکمنستان و شمال ایران است. تقریباً ۴۵ درصد آن در آذربایجان، ۳۵ درصد آن در ترکمنستان و ۲۰ درصد در ایران قرار دارد. دریای خزر یکی از مناطق مهم منابع نفتی و تأمین کننده عمدۀ نفت و گاز می‌باشد و مطالعات پایداری دیواره‌ها، در این منطقه ضروری می‌باشد (Fowler et al., 2000).

مرز جدایش حاشیه باختری و جنوبی فرونژست خزر جنوبی با کوه‌های تالش توسط گسل معکوس خزر کنترل می‌شود. عملکرد این گسل، باعث فراخاست رسوبات دامنه شمالی البرز شده به گونه‌ای که رسوبات پالئوزوئیک دامنه شمالی البرز در کنار رسوبات کواترنر ساحل جنوبی خزر است. گفتنی است که فشارش پلیوسن-پلیستون و عملکرد گسل‌های راندگی سبب شده که در حال حاضر نهشته‌های میوسن دریای خزر، در ارتفاع ۲۰۰۰ متری و نهشته‌های پلیوسن در ارتفاع ۱۰۰۰ متر باشند. بررسی ویژگی‌های لزه زمین‌ساختی خزر جنوبی نشان‌دهنده چیرگی رژیم زمین

از وزن سنگ‌های پوشاننده، رسوبات و سیالات موجود در آنها نتیجه می‌شود. با توجه به ماهیت عمود بر هم بودن تنش‌های اصلی، دو تنش اصلی دیگر در سطح افقی خواهد بود. این تنش‌های اصلی توسط σ_{Hmax} و σ_{Hmin} به ترتیب برای بیشترین و کمترین تنش برجا نشان داده می‌شود (McLellan and Hawkes, 2001).

امروزه تنش‌های برجا و کاربرد زئومکانیک برای تعیین تنش‌ها، در صنایع نفتی دنیا بسیار مورد توجه قرار گرفته است به طوری که بسیاری از شرکت‌های بزرگ نفتی دنیا در زمینه مطالعات مخازن نفتی به سراغ این مباحث رفته و آن را مورد توجه قرار داده‌اند. اصولاً مطالعه تنش‌های برجا می‌تواند تاثیر بسیار مهمی در تحلیل پایداری چاه، تعیین و بررسی شکستگی‌ها داشته باشد.

با تحلیل تنش‌ها و ارائه مدل زئومکانیکی و در نهایت بررسی پایداری دیواره چاه در هر سازند می‌توان با انتخاب مناسب و بهینه پارامترهای حفاری نظری آزمیوت، زاویه انحراف و وزن گل حفاری علاوه بر کاهش هزینه‌های حفاری چاه‌های آتی، از مخاطرات احتمالی نظری مچالگی و یا برش لوله جداری در طول عمر یک چاه نیز تا حد زیادی جلوگیری کرد.

بهره‌ده بهشدت توسط گسل معکوس در بیال غربی، چین خورده است. باین حال، تراست عمیق و گسل معکوس در سری لایه‌های بهره‌ده به نظر نمی‌رسد به طور مستقیم به هم وصل باشند و گسل‌ها همچنان در طول سازند آپشنون و سازندهای کواترنری به گسترش ادامه داده است (Fowler et al., 2000).

ساختی فشاری بر ناحیه است (آقانباتی، ۱۳۸۹). بررسی ساختار پوسته و لرزه‌مین ساخت حوضه خزر جنوبی و کوه‌های طالش با استفاده از داده‌های محلی و دور لرزه‌ها نشان‌دهنده ضخامت پوسته در حدود ۴۰ کیلومتری نزدیک ساحل وجود دو خطواره لرزه زا در امتدادهای شمالی-جنوبی در بخش باختری حوضه خزر جنوبی و لنکران با رژیم فشارشی می‌باشد (مرتضی‌نژاد، ۱۳۹۲).

روش مطالعه

مدل ژئومکانیکی، نمایشی عددی از وضعیت تنش‌های برجا و خواص مکانیک سنگ برای یک ستون چینه‌شناسی در میدان می‌باشد. بررسی ژئومکانیکی مخازن هیدرولیک‌بوری نقش بسیار مهمی در ارزیابی و توسعه میادین نفت و گاز ایفا می‌کند. در بسیاری از مناطق، چگونگی و محل حفاری چاهها با توجه به عمق سازند مخزنی و تنش روباره، چالشی بسیار جدی را پیش روی متخصصان صنعت نفت فرار می‌دهد. مشکلات و مسائل فراوانی در مسیر طولانی تولید نفت از درون مخزن تا سطح زمین وجود دارد که بخش عمداتی از آن‌ها زاییده شرایط نامتعادل فیزیکی-مکانیکی سازندها است. امروزه ژئومکانیک نفت به دانشی کلیدی برای تحلیل و فائق آمدن به این‌گونه مشکلات تبدیل شده است.

ژئومکانیک، اساساً دانشی میان‌رشته‌ای، در مورد مکانیک سنگ، زمین‌شناسی ساختمانی و مهندسی نفت است که به بررسی و تحلیل رفتار زمین در برابر تنش‌ها می‌پردازد. این تنش‌ها ممکن است تنش‌های طبیعی درون زمین یا تنش‌های القا شده توسط انسان در عملیات مختلف، از جمله حفاری باشد. مدل ژئومکانیکی در حالت کلی خواص الاستیسیته دینامیک سازند را به خواص الاستیسیته استاتیک معادل آن مرتبط ساخته که این خواص الاستیسیته استاتیک برای تعیین مقاومت سازند و تنش‌های برجای زمین به کار می‌روند. مدل ژئومکانیکی از پروفایل‌های عمقی شامل پارامترهای الاستیک یا الاستو-پلاستیک^۱، مقاومت سنگ، تنش‌های برجای زمین، فشار منفذی و جهت تنش‌های برجای زمین تشکیل شده است. پارامترهای الاستیک سنگ به دو روش دینامیکی و

بیشتر مخازن نفتی شمال ایران در نهشته‌های پلیوسن-کواترنر حاشیه دریای خزر تشکیل شده‌اند به همین دلیل، این انباسته‌ها ارزش اقتصادی دارند. جدا از میدان‌های نفتی خزر شمالی و خزر میانی، خزر جنوبی یکی از منابع اصلی اکتشاف و تولید نفت و گاز دریای خزر است. در خزر جنوبی، سنگ مخزن اصلی بهره‌ده به سن پلیوسن زیرین-میانی است. سنگ مخزن فرعی آن نهشته‌های ماسه‌ای سازند آپشنون به سن کواترنر پیشین می‌باشد (Javanshir et al., 2015).

گسل‌های حاشیه‌ای در حوضه خزر هنوز هم بهشدت فعال‌اند زیرا بسیاری از زلزله‌های گیلان و مازندران درنتیجه جابجایی‌ها و فعالیت این گسل‌ها به وجود آمده‌اند. مطالعات زمین‌شناسی و ژئوفیزیک نشان می‌دهد که گسل‌ها از نوع معکوس و تا حدی رو رانده‌اند (Devlin et al., 1999).

مطالعات لرزه‌نگاری انجام شده نشان می‌دهد که در منطقه خزر جنوبی تاقدیس‌ها و ناویدیس‌های بزرگ و کوچک متعددی با ابعاد چند کیلومتر وجود دارند که نتیجه ادامه چین خورده‌گی آلپین بوده که در رسوبات تخریبی از قبیل کنگلومرا، ماسه سنگ و رس تخریبی دوران سوم به وجود آمده است که در منطقه گسترش زیادی دارند. به طور کلی از اواخر پالئوژن در منطقه خاور حوضه خزر نفوذ گل‌فشان‌ها به طرف بالا و همچنین پدیده دیاپیریسم در شیل‌ها فعال بوده که تا امروز نیز این فعالیت ادامه دارد و برآمدگی بسیاری در نقاط مختلف این منطقه را شامل می‌شود. این برآمدگی‌ها را به خوبی می‌توان بر روی مقاطع لرزه‌نگاری ملاحظه کرد (Fowler et al., 2000).

ویژگی‌های اصلی ساختاری میدان مورد مطالعه ساختار بسته‌ای است که به چهار جهت شیبدار می‌باشد و محور اصلی آن شمال غرب-جنوب شرق است. سری لایه‌های

1. Elastoplastic

برای اندازه‌گیری این پارامترها نیاز به داده‌های لاغ چگالی و لاغ‌های صوتی فشاری و برشی می‌باشد و سپس این داده‌ها توسط نرم‌افزار زیولاگ^۱ در جهت کاهش نویزهای این نمودارها و در نتیجه دستیابی به داده‌های قابل‌اعتماد نویز گیری شده است و سپس محاسبات انجام شده است. نسبت پواسون یکی از پارامترهای مهم در برآورد بزرگای تنش می‌باشد. سرعت‌ها به صورت کیلومتر در ثانیه است و نتایج بدون واحد می‌باشد.

$$\nu = 0.5 \frac{V_p - 2V_s}{(V_p + V_s)} \quad (1)$$

مدول یانگ یکی از پارامترهای مورد نیاز در تحلیل‌های ژئومکانیکی است و طبق تعریف نسبت تنش قائم به کرنش قائم می‌باشد. در این مطالعه مقدار این پارامتر از رابطه (۲) به دست آمده است. در این رابطه: ρ_b : چگالی برحسب گرم بر سانتی‌متر مکعب و E : مدول یانگ برحسب پوند بر اینچ مربع و $10^{10} \times 1.34$: فاکتور تبدیل مدول، به واحد psi (پوند بر اینچ مربع) می‌باشد.

$$E = \left(\frac{\rho_b}{\Delta t_s^r} \right) \left(\frac{(\Delta t_s^r) - 4(\Delta t_p^r)}{\Delta t_s^r - \Delta t_p^r} \right) \times 10^{10} \quad (2)$$

برای محاسبه مدول برشی از رابطه (۳) با استفاده از داده‌های لاغ چگالی برحسب گرم بر سانتی‌متر مکعب و داده‌های زمان گذر موج برشی برحسب میکروثانیه بر فوت تعیین می‌شود.

$$G = \left(\frac{RHO_B}{\Delta t_s^r} \right) \times 1.34 \times 10^{10} \quad (3)$$

در رابطه (۴)، K مدول بالک استاتیکی برحسب پوند بر اینچ مربع و $10^{10} \times 1.34$: فاکتور تبدیل مدول، به واحد psi (پوند بر اینچ مربع) می‌باشد.

$$K_{(psi)} = \rho_b \left(\left(\frac{1}{\Delta t_p^r} \right) - \left(\frac{4}{\Delta t_s^r} \right) \right) \times 10^{10} \quad (4)$$

برای محاسبه مقاومت فشاری تکمحوره توسط

استاتیکی قابل اندازه‌گیری هستند. در روش دینامیکی، با اندازه‌گیری سرعت عبور امواج تراکمی (V_p) و برشی (V_s) در شرایط برجا و یا آزمایشگاه، ویژگی‌های الاستیک دینامیکی سنگ به دست می‌آیند. در روش استاتیکی نیز با انجام آزمایش‌های تخریبی مانند مقاومت فشاری تکمحوری و یا سه محوری بر روی مغزه سنگ، پارامترهای مقاومتی و الاستیک استاتیکی اندازه‌گیری می‌شوند. روش‌های استاتیکی نتایج واقع بینانه‌تری نسبت به روش‌های دینامیکی می‌دهند، اما هزینه انجام آن بیشتر است و اندازه‌گیری آن به نقاط دارای مغزه سنگی محدود می‌شود. متاسفانه پارامترهای دینامیکی و استاتیکی با یک دیگر برابر نیستند و معمولاً پارامترهای دینامیکی از پارامترهای استاتیکی متناظر خود بزرگ‌تر هستند. بهمنظور اندازه‌گیری پیوسته ویژگی‌های مکانیک سنگ در طول چاه، ایجاد روابط تجربی بین پارامترهای دینامیکی و استاتیکی ضروری به نظر می‌رسد.

خواص الاستیسته سنگ‌ها که رابطه بین تنش و کرنش را در محدوده تغییر شکل‌های برگشت‌پذیر سنگ نشان می‌دهد متشکل از ضرایب الاستیک می‌باشد. تاکنون روش‌های متنوعی برای تخمین پارامترهای مکانیکی در یک مخزن نفتی معروف شده‌اند که دامنه‌ای از روش تجربی تا روش‌های هوشمند را شامل می‌شوند که در این مطالعه از فرمول‌های تجربی برای برآورد پارامترهای ژئومکانیکی استفاده شده است.

پارامترهای مورد نیاز برای انجام یک تحلیل زمین مکانیکی جهت بررسی پایداری دیواره چاه را می‌توان در دو دسته تقسیم‌بندی کرد:

دسته‌های اول پارامترهای مربوط به سازند بوده که شامل نسبت پواسون^۱ و مدول‌های الاستیستیه (مدول یانگ^۲، مدول برشی^۳ و مدول حجمی^۴، مقاومت فشاری تکمحوره^۵ و ضریب بایوت^۶ و همچنین فشار منفذی^۷ می‌باشند. معادلات در روابط (۱) تا (۶) نشان داده شده است. دسته دوم پارامترهای مربوط به تنش منطقه است که شامل مقدار و جهت تنش‌های عمودی و تنش‌های افقی ماکریم و مینیم معادلات در روابط (۷) و (۸) نشان داده شده است (Tixier et al., 1975).

1. Poisson's ratio
2. Young's modulus
3. Shear modulus
4. Bulk modulus
5. Unconfined compressive strength
6. Biot ratio
7. Pore pressure
8. Geolog

مشخص که در این فرمول توسط زوباک ارائه شده است (Zoback, 2007) ρ_w چگالی آب می باشد و Z عمق آب و ρ_w دانسیته آب است که این مقدار برای دریا خزر 1 g/cm^3 فرض شده است.

$$Sv = \rho_w g z_w + \phi_{zw}^z \rho(z) gdz \approx \rho_w g z_w + \rho(z - Zw) \quad (7)$$

تعیین بزرگی تنش افقی حداکثر σ_H بر پایه تئوری پوروالاستیسیته^۱ محاسبه شده است. در این معادله که توسط زوباک (Zoback, 2007) ارائه شده است: ضریب پواسون و a : ثابت بایوت و E : مدول یانگ و ϵ_x کرنش به ترتیب در جهت تنش افقی حداقل و حداکثر و P : فشار منفذی می باشد. برای محاسبه تنش افقی حداقل، از میانگین تنش عمودی و تنش افقی حداکثر استفاده شده است (شکل ۲).

$$\sigma_H = \frac{\nu}{1-\nu} \sigma_v - \frac{\nu}{1-\nu} \alpha P_p + \alpha P_p + \frac{E}{1-\nu} \epsilon_x + \frac{\nu E}{1-\nu} \epsilon_y \quad (8)$$

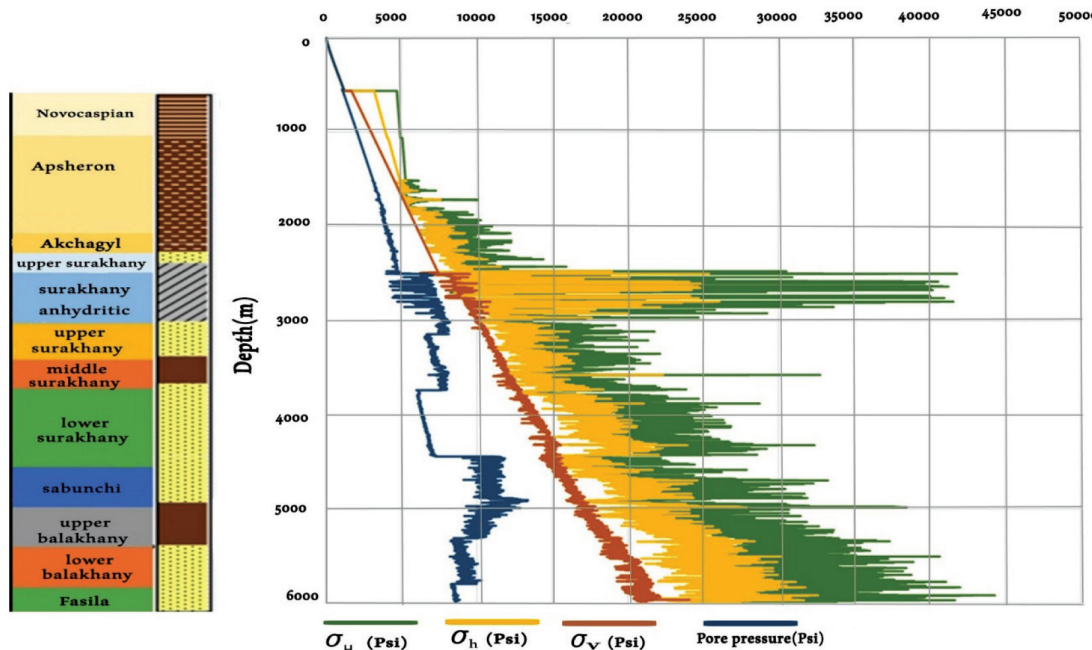
معادله (۵) که توسط ترکان و همکاران ارائه شده است (Tercan et al., 2005) و مناسبترین معادله جهت محاسبه این پارامتر در میدان مورد مطالعاتی ما از نظر جنس سازندها می باشد، استفاده شده است.

$$UCS = 7.1912 V_p + 26.258 \quad (5)$$

فشار منفذی مورد نظر توسط معادله ایتون (Eaton, 1975) مورد محاسبه قرار گرفته است. در این معادله P_{pg} گرادیان فشار منفذی سازند، S_g گرادیان فشار روبار، P_{ng} گرادیان فشار منفذی هیدرواستاتیک (که معمولاً برابر با لاغ صوتی ($\mu\text{s}/\text{ft}$))، Z عمق بر حسب فوت و توان ثابت x در مطالعات ایتون ۳ قرار داده می شود ولی با توجه به مخازن مورد مطالعه نیاز به اصلاح دارد. سپس توسط داده های تست فشار منفذی سازند MDT کالیبره شده است.

$$P_{pg} = S_g - (S_g - P_{ng}) \left(\frac{e^{0.5 + 1.34e^{-0.001 \cdot 130}}}{\Delta t} \right)^x \quad (6)$$

تنش عمودی عبارت است از فشار وارد آمده از سوی وزن طبقات و سیالات بالایی بر سازند در عمق



شکل ۲. مقایسه بزرگی تنش های عمودی، افقی حداکثر و حداقل بر حسب psi (پوند بر اینچ مربع) نسبت به عمق بر حسب متر مربوط به چاه مورد مطالعه می باشد

1. Poroelastic theory

بحث

تنش‌های مؤثر بر میدان نفتی مورد مطالعه

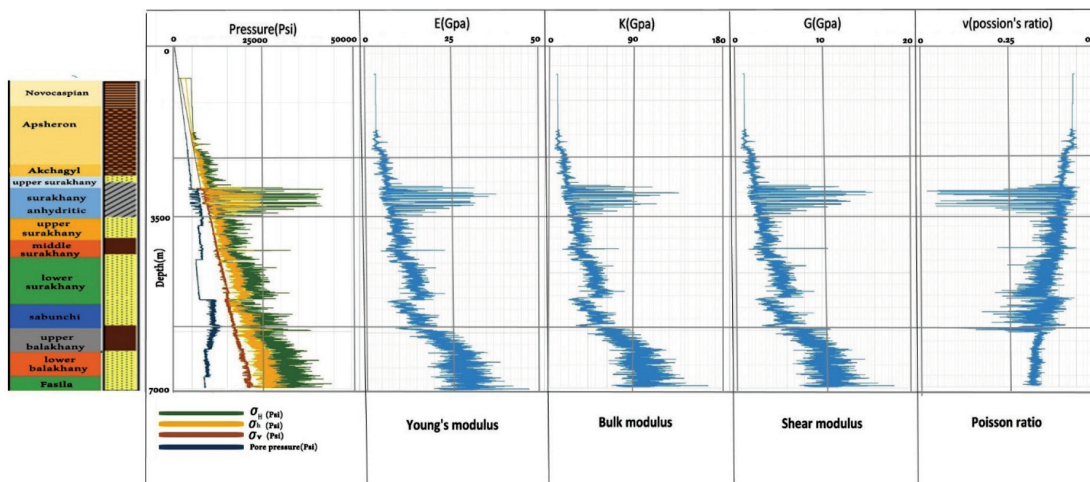
میدان نفتی مورد مطالعه که در جنوب حوضه دریای خزر قرار دارد به دلیل وجود گل‌فشان‌های فراوان در این میدان بسیار مورد توجه محققان قرار گرفته است و از روی نتایج مطالعات این محققان و با توجه به پژوهشی استرس جهانی، امتداد تنش افقی ماقزیم به صورت شمال شرقی-جنوب غربی و با آزمیوت N30E قرار گرفته است (Bonini et al., 2010) (Fowler et al., 2000) (Bonini et al., 2012).

مدل ژئومکانیکی ارائه شده برای چاه مورد نظر

مدل ژئومکانیکی، نمایشی عددی از وضعیت تنش‌های برجا و فشار منفذی و خواص مکانیک سنج شامل مدول‌های الاستیک برای یک ستون چینه‌شناسی در میدان مورد مطالعه می‌باشد (شکل ۳).

با توجه به مدل ژئومکانیکی ارائه شده مشخص است که در سازند انیدریتی سوراخانی مقادیر مدول برشی، مدول یانگ و مدول بالک بیشترین مقدار است و مقدار تنش‌ها در این واحد چینه‌های تاثیر بیشتری روی ناپایداری چاه واژه داشت. همین‌طور با افزایش عمق، مقدار تنش‌ها

افزایش می‌یابد و ناپایداری تحت تاثیر این افزایش قرار می‌گیرد. با استفاده از این نمودار می‌توان قسمت‌هایی که دارای فشار منفذی بالای نسبت به سایر مناطق است را که شامل سازند ماسه‌ای شیلی عمیق صابونچی می‌باشد را مشخص کرد، که در این سازند فشار گسیختگی دارای مقادیر بیشتری است. بنابراین در صورت استفاده از یک نوع گل حفاری، حفاری در این قسمت ناپایداری بیشتری نسبت به سایر نواحی خواهد داشت. سازندهای تبخیری خاصیت شکل‌پذیری بالایی با افزایش تنش‌های اعمالی دارد و در سازندهای نمکی مانند سازند سوراخانی انیدریتی در عمق ۲۵۰۰ تا ۳۱۰۰ متری، حالت تنش بسیار پیچیده و متغیر است. و این سازندها با تاثیر تنش برجا در منطقه می‌تواند در درازمدت رفتار ویسکوپلاستیک و خرزشی از خود نشان دهد. این بدان معنا است که با وارد شدن یک مقدار خاص تنش به سازندهای تبخیری، به دلیل عدم توانایی در نگهداری و برقرار داشتن تنش‌های انحرافی درون خود، حالت تنش در آن کاملاً هیدرواستاتیک یا نزدیک به آن می‌شود. در نمک، مقدار تنش افقی تقریباً با وزن روباره برابر است. از این‌رو از واژه تحت تعادل در حفاری سازندهای نمکی مثل سازند سوراخانی انیدریتی استفاده می‌شود.

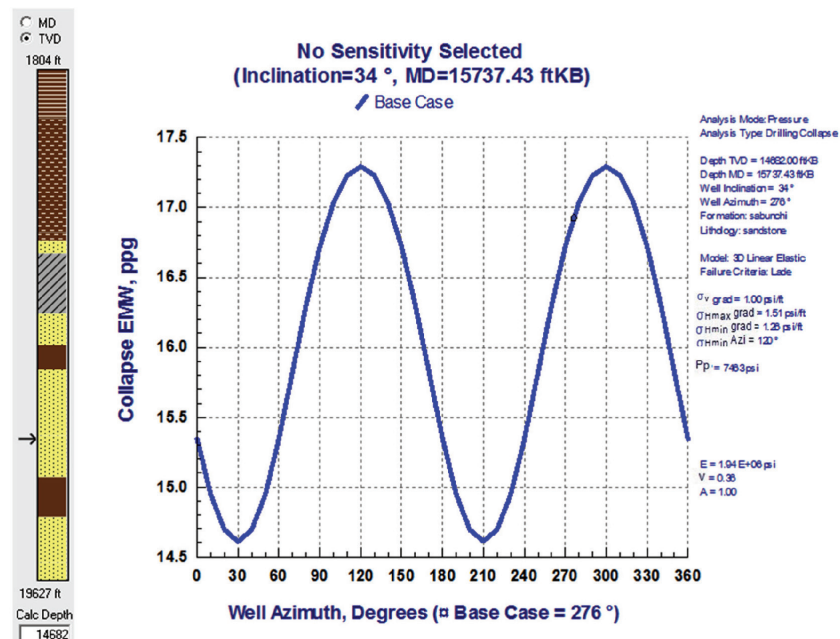


شکل ۳. مدل ژئومکانیکی نمایشی عددی از وضعیت تنش‌های برجا و خواص مکانیک سنج مربوط به چاه مورد نظر می‌باشد، که ستون اول مربوط به داده‌های نسبت پواسون در عمق‌های مختلف چاه حفر شده بر حسب متر، ستون دوم به داده‌های مدول برشی بر حسب گیگاباسکال، ستون سوم مربوط به داده‌های مدول بالک بر حسب گیگاباسکال، ستون چهارم مربوط به داده‌های مدول یانگ و ستون پنجم مربوط به داده‌های تنش که در شکل (۲) ارائه شده است، نشان می‌دهد

درجه کمترین فشار فروریختگی را نشان می‌دهد. بنابراین حفاری در این امتداد می‌تواند پایدارترین شرایط را برای دیواره تامین کند (شکل ۴). با توجه به شکل نمودار عمودی مقدار فشار فروریختگی و نمودار افقی آزموت‌های مختلف برای حفاری را نشان می‌دهد که در آزموت‌های 30° و 210° درجه مقدار فشار فروریختگی نسبت به سایر نواحی کمترین مقدار می‌باشد که نشان می‌دهد در این آزموت‌ها پایداری دیواره چاه بیشترین مقدار نسبت به سایر نواحی می‌باشد.

تعیین جهت آزموت^۱ برای حفاری پایدار

آزموت حفاری برای امتدادهای متفاوت نسبت به جهت شمال (صفر درجه)، بر اساس جهت‌گیری تنש‌های افقی مازکزیم و مینیمم سنجیده شده و مقدار فشار فروریختگی 34° را در آزموت‌های مختلف بر اساس ppg (بوند بر گالن)، نشان می‌دهند. بنابراین بر اساس این نمودارها و با توجه به اینکه رژیم تنش حاکم بر منطقه از نوع فشارشی است، پایدارترین جهت حفاری در جهت آزموت‌های 30° و 210° می‌باشد.



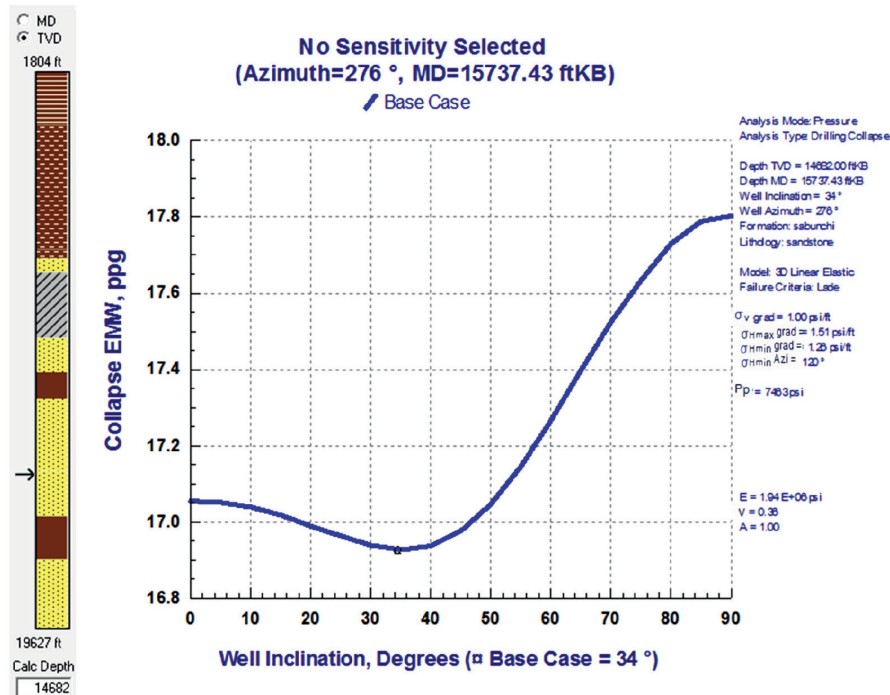
شکل ۴. فشار فروریختگی چاه برای آزموت‌های متفاوت حفاری، بر حسب پوند بر گالن در سازند صابونچی نشان‌دهنده پایداری بیشتر چاه در آزموت‌های 30° و 210° درجه

حاصل می‌شود. در یک سیستم تنشی فشارشی، زاویه انحراف بهینه چاه بسته به مسیر حفاری، بین یک چاه افقی و یک چاه عمودی در حال تغییر است. در یک مسیر نزدیک به جهت تنش افقی حداقل ($\alpha=90^\circ$) چاه قائم بیشترین پایداری را دارد. اما در جهت نزدیک به جهت تنش افقی حداکثر ($\alpha=0^\circ$) چاه افقی بهترین گزینه می‌باشد. در این حالت مسیر حفاری موازی با تنش برجای اصلی حداکثر (σ_H) می‌باشد.

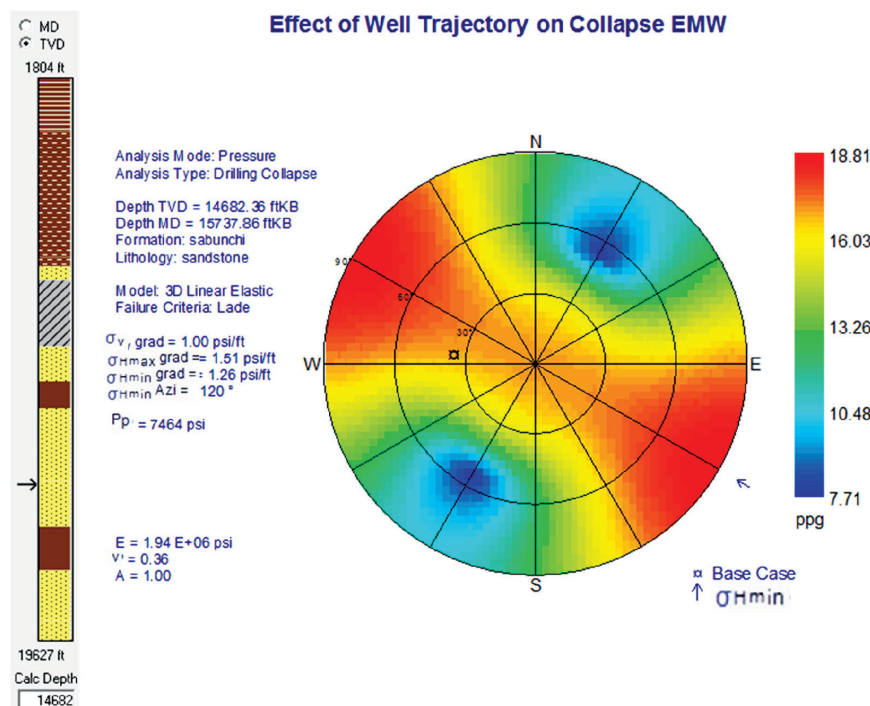
تعیین زاویه انحراف^۲ برای حفاری پایدار

چاهها در حالت معمولی به صورت قائم در نظر گرفته می‌شوند، بنابراین زاویه انحراف صفر درجه نشان‌دهنده چاه قائم و زاویه انحراف 90° درجه نشان‌دهنده چاه افقی می‌باشد. فشار فروریختگی چاه را به عنوان تابعی از زاویه انحراف نشان می‌دهد (شکل ۵). این نمودار فشار وزن گل معادل بر حسب پوند بر گالن بیان می‌شود. با توجه به نمودارهای چاه‌های عمودی پایدار است و تقریباً در چاه‌هایی با انحراف‌های 30° و 40° درجه چاه دارای کمترین فشار فروریختگی است و در زوایای انحراف 90° درجه بیشترین مقدار فشار گسیختگی

1. Azimuth
2. Collapse pressure
3. Inclination



شکل ۵. فشار فروریختگی چاه برای زوایای متفاوت انحراف برحسب پوند بر گالن در سازند صابونچی نشان دهنده بیشترین فشار فروریختگی و در نتیجه ناپایداری در چاههای افقی نسبت به چاههای قائم می‌باشد



شکل ۶. نمودار قطبی فشار فروریختگی برحسب پوند بر گالن در سازند صابونچی، کمترین فشار فروریختگی در آزمیوت شمال شرقی-جنوب غربی می‌باشد که موقعیت چاه حفاری با علامت مشخص شده است. جهت تنش افقی حداقل با علامت فلش در امتداد شمال غرب-جنوب شرق نشان داده شده است. با توجه به این نمودار قطبی در یک مسیر نزدیک به جهت تنش افقی حداقل ($\alpha=90^\circ$) چاه قائم بیشترین پایداری را دارد. اما در جهت نزدیک به جهت تنش افقی حداقل ($\alpha=0^\circ$) چاه افقی بهترین گزینه می‌باشد

قرار می‌گیرد که نسبتاً اختلاف تمرکز تنش کمتری دارد در مقایسه با چاهی که در راستای تنش افقی حداقل انحراف یابد که تحت تاثیر دو تنش عمودی (σ_3) و تنش افقی حداکثر (σ_1) قرار می‌گیرد که بیشترین اختلاف تمرکز تنش در اطراف چاه را داشته و چاه از پایداری حداقل برخوردار می‌باشد. بنابراین بهینه‌ترین مسیر در آزمیوت تنش افقی حداکثر و زاویه انحراف افقی تر خواهد بود و ناپایدارترین حالت در مسیر تنش افقی حداقل و با زاویه انحراف کمتر یعنی عمودتر خواهد بود. با توجه به نتایج محاسبات پایداری و آزمیوت تنش‌ها در میدان مورد مطالعه، این‌ترین مسیر حفاری در امتداد شمال شرقی-جنوب غربی و به صورت دقیق‌تر در امتداد N30E، در این میدان مشخص شده است.

سپاسگزاری

این تحقیق با همکاری و پشتیبانی شرکت نفت خزر انجام شده است.

منابع

- آفتابی، س.ع.، ۱۳۸۹. زمین‌شناسی ایران. سازمان زمین‌شناسی و اکتشافات معدنی کشور، ۶۰۶.
- مرتضی نژاد، غ.ر.، عزیز زنجانی، آ.، قدس، ع.ر. و ثبوتی، ف.، ۱۳۹۲. علوم زمین، تابستان ۹۲، سال بیست و دوم، ۴۷-۳۸، ۸۸/۲.
- Anderson, E.M. 1951. The dynamics of faulting and dike formation with application to Britain. Oliver and Boyd, 2nd Edition, Edinburgh, 133147.
- Bonini, M., 2012. Mud volcanoes: Indicators of stress orientation and tectonic controls. Earth-Science Reviews 115, 121-152.
- Bonini, M. and Mazzarini, F., 2010. Mud volcanoes as potential indicators of regional stress and pressurized layer depth. Tectonophysics.
- Devlin, W., Cogswell, J., Gaskins, G., Isaksen, G., Pitcher, D., Puls, D., Stanley, K. and Wall, G., 1999. South Caspian Basin: young, cool, and full of promise. Geological Society of

بررسی پایداری چاه در میل و آزمیوت‌های مختلف توسط نمودارهای قطبی

در مطالعه پایداری باید مشخص شود تا چه میزان، چاه می‌تواند نسبت به زاویه قائم انحراف داشته باشد و اصولاً در چه زاویه‌ای پایداری بیشتر است. برای این منظور می‌توان از استریونت‌های نیمکره پایینی جهت تحلیل پایدری دیواره چاه بهره برد. نمودار قطبی برای نمایش کنتورهای رنگی از داده‌های فشار و اندازه‌گیری خطر در مسیرهای مختلف چاه و همچنین برای نمایش تصاویر استریوگرافیک بکار می‌رود. مرکز نمودار نشان‌دهنده چاهی با شبیه و آزمیوت صفر درجه است و از مرکز به اطراف دایره‌ها نشان‌دهنده تغییرات در شبیه است (شکل ۶) که هر دایره نشان‌دهنده شبیه ۳۰ درجه است. در بخش بالای نمودار، شمال با علامت N مشخص شده است و هر خطوط شعاعی نشان‌دهنده تغییرات در آزمیوت در حدود ۳۰ درجه است. بهینه‌ترین مسیر برای پایداری با توجه به مقدار و فشار فروریختگی بحسب پوند بر گالن نشان داده شده است که در نمودارها نقطه‌ای که دارای بیشترین مقدار فشار باشد ناپایدارترین نقطه می‌باشد یعنی برای پایدار ماندن چاه وزن گل بیشتری نیاز است. در چاه مورد مطالعه که رژیم تنشی فشارشی حاکم است بهینه‌ترین مسیر در آزمیوت تنش افقی حداکثر و زاویه انحراف افقی تر خواهد بود و ناپایدارترین حالت در مسیر تنش افقی حداقل و با زاویه انحراف کمتر یعنی عمودتر خواهد بود.

نتیجه‌گیری

محاسبه مقادیر تنش بر جا در میدان مورد مطالعه نشان می‌دهد که با توجه به مدل گسلی اندرسون، رژیم تنشی حاکم بر منطقه، رژیم تنش فشارشی می‌باشد ($\sigma_H > \sigma_h > \sigma_V$) که در رژیم تکتونیکی فعال فشارشی، آنچه در میدان مورد مطالعه حاکم است، چنانچه مسیر چاه عمودی باشد تحت تاثیر تنش افقی حداکثر (σ_1) و تنش افقی حداقل (σ_2) قرار می‌گیرد که این دو تنش ناهمگنی تمرکز کمتری در اطراف چاه را ایجاد کرده و پایداری نسبی دارد. در مورد چاه‌های افقی، چاهی که در راستای تنش افقی حداکثر انحراف یابد تحت تاثیر دو تنش عمودی (σ_3) و تنش افقی حداقل (σ_2)

America Today, 9, 7, 1-9.

- Eaton, B.A., 1975. The equation for geo-pressure prediction from well logs. Society of Petroleum Engineers of AIME. Paper SPE, 5544.

- Fossen, H., 2010. Structural Geology. Cambridge University Press, 77.

- Fowler, S.R., Mildenhall, J., Zalova, S., Riley, G., Elsley, G., Desplanques, A. and Guliyev, F., 2000. Mud volcanoes and structural development on Shah Deniz. Journal of Petroleum Science and Engineering, 189-206.

- Javanshir, Rashid J., Riley, Gregory W., Duppenbecker, Stephan J. and Abdullayev, N., 2015. Validation of lateral fluidflow in an overpressured sand-shale. Marine and Petroleum Geology, 593-610.

- Mclellan, P.J. and Hawkes, C.D., 2001. Borehole Stability Analysis for Underbalanced

Drilling. Journal of Canadian Petroleum Technology, 40, 5, 31-38.

- Tercan, A.E., Unver, B., Tiryaki, B. and Özbilgin, D., 2005. A study of relationships among mechanical, index and petrographic properties of some sandstones using canonical correlation analysis, (in Turkish). Mining, 44, 3-14.

- Tixier, M.P., Loveless, G.W. and Anderson, R.A., 1975. Estimation of Formation Strength from the Mechanical Properties Log, SPE4532.

- Zare, M.R., Shadizadeh, S.R. and Habibnia, B., 2010. Mechanical Stability Analysis of Directional Wells: A Case Study in Ahwaz. The 34th Annual SPE International Conference and Exhibition. Tinapa-Calabar, Nigeria.

- Zoback, M.D., 2007. Reservoir Geomechanics, Cambridge University Press, 449.